

محسن قاضی خانی<sup>(۱)</sup>محمد صدیق شهاب احمدی<sup>(۲)</sup>

**چکیده** تجزیه و تحلیل اگزرزی در یک سیستم، ابزار مناسبی است که با کمک آن می‌توان افت‌های ترمودینامیکی در یک فرآیند را با استفاده از قانون دوم ترمودینامیک، محاسبه نمود. در این تحقیق با تحلیل اگزرزی در انباره اگزروز موتور احتراق داخلی OM314، مقادیر بازگشت‌ناپذیری‌های ناشی از انتقال حرارت انباره به محیط، بازگشت‌ناپذیری داخل انباره اگزروز و بازگشت‌ناپذیری کلی در شرایط کارکرد مختلف موتور، اندازه‌گیری و محاسبه شده است. هم‌زمان، دسی بل صدای خروجی از اگزروز، اندازه‌گیری شده و تلاش شده است تا ارتباط بین شدت صدای خروجی از اگزروز موتور و مقادیر بازگشت‌ناپذیری‌ها مشخص شوند. نتایج، نشان می‌دهند که تقریباً با سه برابر شدن بازگشت‌ناپذیری‌های انباره اگزروز، دسی بل صدای اگزروز فقط ده درصد افزایش یافته است و بازگشت‌ناپذیری به علت انتقال حرارت، بیشترین سهم را در بازگشت‌ناپذیری کل انباره اگزروز دارد. به همین دلیل برای کاهش صدای اگزروز از دیدگاه قانون دوم، بهترین روش، سرد کردن انباره اگزروز پیشنهاد می‌باشد. اختلاف دمای انباره با محیط، عامل مهمی در میزان بازگشت‌ناپذیری در انباره اگزروز است؛ ولی نتایج تحقیق، ارتباط بیشتر افت فشار دو طرف انباره به صدای اگزروز را در مقایسه با اختلاف دما نشان داده است. این نتیجه، امکان تأثیر بازگشت‌ناپذیرها به میزان کمی در شدت صدای اگزروز را تأیید می‌نماید. افزون بر این نتایج نشان می‌دهند دسی بل صدای اگزروز عملتاً تابع سرعت موتور است.

**واژه‌های کلیدی** موتورهای احتراق داخلی، بازگشت‌ناپذیری در اگزروز، اگزرزی، موازنی اگزرزی.

## Investigation of the Exhaust Silencer Irreversibility and the Sound Intensity Emitted from the Exhaust in Diesel Engines

M. Ghazikhani

M. S. Shahab-Ahmadi

**Abstract** Exergy analysis is a method that can calculate thermodynamic losses by means of second law of thermodynamics. In this study, exergy analysis has been performed for the silencer of OM314 diesel engine. Irreversibility due to heat transfer from silencer to environment, silencer's internal irreversibility and total irreversibility for different conditions of engine operation have been measured and calculated. For finding out the relation between irreversibility and exit sound intensity, simultaneously, exit sound intensity from the silencer has been measured. Results illustrate that by tripling of silencer irreversibility, exit sound intensity increases only 10 percent. Also the results shows that the irreversibility due to heat transfers have the most contribution in total irreversibility of silencer. So from the view point of second law of thermodynamics, it seems that cooling the silencer can be an effective method for sound reduction. Also results illustrate that, sound intensity of silencer is basically dependent to engine speed.

**Key Words** Exergy, Irreversibility, Exhaust silencer, Diesel engine.

\* نسخه‌ی اولیه‌ی مقاله در تاریخ ۱۰/۱۷/۸۴ و نسخه‌ی نهایی آن در تاریخ ۲۷/۹/۸۵ به دفتر نشریه رسیده است.

(۱) نویسنده‌ی مسئول، استادیار گروه مکانیک، دانشکده‌ی مهندسی، دانشگاه فردوسی مشهد

(۲) کارشناس ارشد مکانیک، دانشکده‌ی مهندسی، دانشگاه فردوسی مشهد

حاصل از احتراق در موتور، عملاً یک فشار پشتی بر موتور اعمال می شود که این امر باعث افزایش اصطکاک پمپی در موتور است. در صورتی که بتوان با تولید انتروپی (ایجاد بازگشت ناپذیری) صدای اگزووز را کاهش داد، بهدلیل آن که تولید انتروپی فقط تابع فشار نیست، خواهیم توانست با فشار پشتی کمتر و اصطکاک پمپی کمتر، صدای اگزووز را کاهش دهیم. این مسئله به درک عمیق ارتباط صدای اگزووز و تولید انتروپی یا بازگشت ناپذیری در انباره ای اگزووز وابسته است.

در این مقاله، نحوه محاسبه ای بازگشت ناپذیری های داخلی و بازگشت ناپذیری بر اثر انتقال حرارت در یک انباره اگزووز با استفاده از موازنی اگزرژی توضیح داده شده است. سپس با توضیح مختصی از اکوستیک و شدت صوت، بستر آزمایش و نحوه آزمایشات بیان شده است. در انتها نتایج به دست آمده از ارتباط بازگشت ناپذیری ها و شدت صدای اگزووز، مورد بررسی واقع شده است.

### اگزرژی

تحلیل اگزرژی، ترکیب قانون های اول و دوم ترمودینامیک می باشد. با تحلیل اگزرژی، می توان میزان دقیق تلفات کارایی انرژی، محل و علت آن را به نحو مطلوبی پیدا و مشخص کرد [3].

برای مشخص کردن کارایی یک سیستم، نه تنها فرایند هایی که در داخل سیستم اتفاق می افتد باید مدنظر باشد، بلکه ارتباط و انتقال انرژی بین سیستم و محیط بیرون آن به جهت افت پتانسیل کار بایستی مورد توجه قرار گیرد. فقط در این صورت است که کارایی واقعی سیستم به دست می آید [3].

### موازنی اگزرژی در انباره اگزووز

فرآیند در انباره اگزووز، فرآیند حالت پایدار، جریان پایدار (Steady State Steady Flow) (SSSF) است. همان گونه که در شکل (1) ملاحظه می شود، سیستم

### مقدمه

در سال های اخیر توجه دانشمندان ترمودینامیک به یافتن روش هایی است که بتوانند قانون دوم ترمودینامیک را به صورت کاربردی اعمال نمایند. این روش به نام تحلیل اگزرژی نامیده شده است. روش اگزرژی، ابزاری است که اساس آن به دست آوردن افتهای ترمودینامیکی با استفاده از قانون دوم ترمودینامیک است. این روش، تحت عنوان تحلیل قابلیت کاردهی نیز نامیده می شود [1].

پیشگیری از آزار غوغای ترافیک زمینی که در شهرهای بزرگ روز به روز فزونی می گیرد، ضرورت استفاده از وسایل کاهش صدا را افزایش می دهد. کارخانه های سازنده وسائل نقلیه، ملزم به پیش بینی وسایلی برای محدود کردن صدای موتورها و دیگر اجزاء مولد صدا شده اند [2]. شدت صوت آزاردهنده که باعث بروز ناراحتی های گوش می گردد، برای همه یکسان نیست و برخی نمی توانند در محیط پر سر و صدایی که شدت صوت آن ۷۵ تا ۸۰ دسی بل باشد، مدت های مديدة به کار اشتغال ورزند؛ در حالی که برخی دیگر بدون احساس هیچ گونه ناراحتی، شدت صدای ۹۰ الی ۹۵ دسی بل را هم تحمل می کنند [7].

انباره اگزووز (صدا خفه کن) با ایجاد افت فشار، اصطکاک و تغییر در مسیر جریان سیال، انرژی کل سیال را مستهلك و شدت صوت را کاهش می دهد. بازگشت ناپذیری در جریان سیال نیز به مفهوم کاهش قابلیت کاردهی و استهلاک پتانسیل انجام کار است.

هدف از این تحقیق، بررسی و درک ارتباط شدت صوت و بازگشت ناپذیری صدا خفه کن در موتور احتراق داخلی است. برای دست یابی به این هدف با تحلیل اگزرژی محفظه ای انبار اگزووز، مقداری بازگشت ناپذیری ها اعم از بازگشت ناپذیری های ناشی از انتقال حرارت انباره اگزووز به محیط و بازگشت ناپذیری داخل انباره را در شرایط مختلف کارکرد موتور محاسبه می کنیم. با گذاشتن انباره اگزووز در مسیر خروج گازهای

عبارت از بازگشت ناپذیری انتقال حرارت با محیط است که دمای بدون واسطه‌ی حجم کنترل آن دمای محیط است و معادل صفر می‌شود. بی‌شک با استفاده از رابطه‌ی (۱) بازگشت ناپذیری به علت انتقال حرارت اگزوژ به محیط در مقدار  $I_{total}$  نهفته است که نحوه‌ی محاسبه‌ی آن در قسمت‌های بعدی توضیح داده شده است [۴].

$$\sum \dot{\Phi}_{Qj} = \dot{Q} \left( 1 - \frac{T_0}{T_j} \right) = \dot{Q} \left( 1 - \frac{T_0}{T_0} \right) = 0 \quad (3)$$

$\dot{I}_{total}$ : نرخ زمانی بازگشت ناپذیری کلی حجم کنترل  
 $\sum \dot{m}_i \psi_i$ : نرخ زمانی اگزرژی جریان ورودی جرم به حجم کنترل  
 $\sum \dot{m}_e \psi_e$ : نرخ زمانی اگزرژی جریان خروجی جرم از حجم کنترل  
 $\dot{W}_{act}$ : توان محوری که در انباره برابر صفر است.

$$\dot{W}_{act} = 0 \quad (4)$$

$\dot{m}_e, \dot{m}_i$ : دبی جرمی ورودی و خروجی حجم کنترل که در اینجا با هم مساوی هستند.

$$m^{\circ} = m_e^{\circ} + m_i^{\circ} \quad (5)$$

با توجه به روابط (۱) الی (۵) رابطه‌ی موازنی اگزرژی به فرم زیر ساده می‌شود:

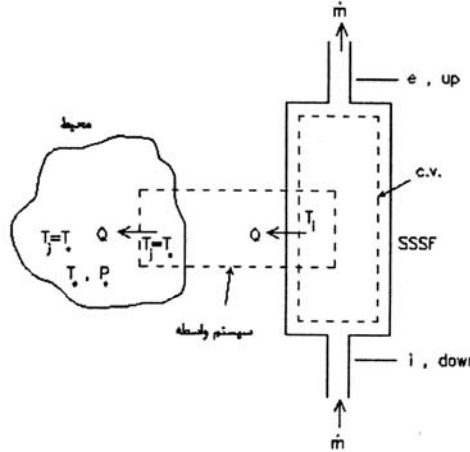
$$\dot{I}_{total} = \dot{m} \psi_i - \dot{m} \psi_e = \dot{m} (\psi_i - \psi_e) \quad (6)$$

و با توجه به مفهوم اگزرژی جریان جرم سیال، خواهیم داشت:

$$\begin{aligned} \dot{I}_{total} &= m^{\circ} \left[ \left( h_i + \frac{V_i^2}{2} + gZ_i - T_0 s_i \right) - \right. \\ &\quad \left. \left( h_e + \frac{V_e^2}{2} + gZ_e - T_0 s_e \right) \right] \end{aligned} \quad (7)$$

صرف نظر از اختلاف سیستمیک و پتانسیل در ورودی و خروجی داریم:

واسطه برای توضیح بهتر بازگشت ناپذیری به علت انتقال حرارت آورده شده است. موازنی اگزرژی را برای یک فرایند در حالت عام با دمای منابع حرارتی بیرون از حجم کنترل معادل  $T_j$  می‌نویسیم [۴].



شکل ۱ فرایند حالت پایدار جریان پایدار در انباره

$$\frac{d\Phi_{cv}}{dt} = \sum \dot{\Phi}_{Qj} + \sum \dot{m}_i \psi_i - \sum \dot{m}_e \psi_e + \dot{W}_{act} - \dot{I}_{total} \quad (1)$$

در رابطه‌ی (۱)  $\frac{d\Phi_{cv}}{dt}$  نرخ زمانی تغییر اگزرژی غیر جریانی حجم کنترل است که در فرایند SSSF انباره اگزوژ، معادل صفر است.

$$\frac{d\Phi_{cv}}{dt} = \frac{d(E + P_0 V - T_0 S)}{dt} = 0 \quad (2)$$

$\sum \dot{\Phi}_{Qj}$ : عبارت از نرخ زمانی اگزرژی ناشی از انتقال حرارت با یک منبع حرارتی با دمای  $j$  می‌باشد که در اینجا برابر صفر است. چون  $T_0 = T_j$  است. در موازنی اگزرژی رابطه‌ی (۱) سیستم واسطه با حجم کنترل، روی هم حجم کنترلی را تشکیل می‌دهند که دمای بدون واسطه‌ی حجم کنترلی در مرز  $T_j$  بوده و دمای منابع حرارتی به غیر از محیط را نیز شامل می‌شود. در انباره اگزوژ  $T_j = T_0$  است. به بیان دیگر، نرخ اگزرژی به علت انتقال حرارت در معادله‌ی (۱)

$$\begin{aligned} h_{up} - h_{down} = & \frac{1}{28.9} [28.11(T_{up} - T_{down}) + \\ & 0.9835 \times 10^{-3} (T_{up}^2 - T_{down}^2) + \\ & \int_{down}^{up} dh = \int_{down}^{up} C_p dT \\ & 0.16 \times 10^{-5} (T_{up}^3 - T_{down}^3) - \\ & 0.4915 \times 10^{-9} (T_{up}^4 - T_{down}^4)] \end{aligned} \quad (12)$$

تغییر آنتالپی دوسر انباره از رابطه‌ی (۱۳) محاسبه شده است.

### محاسبه‌ی تغییر انتروپی جریان ورودی تا خروجی در انباره اگزوز

برای محاسبه‌ی تغییر انتروپی با استفاده از مدل هوای هم‌دما با محصولات احتراق در اگزوز با رفتار گاز کامل و با گرمای‌های ویژه‌ی متغیر برای مخلوط جریان اگزوز عبوری از انباره داریم [۶]:

$$\int_{down}^{up} ds = \int_{down}^{up} \frac{C_p dT}{T} - R \ln \left( \frac{P_{up}}{P_{down}} \right) \quad (14)$$

در رابطه‌ی (۱۴) داریم:

$$s = \text{انتروپی مخصوص} \left[ \frac{Kj}{Kg.K} \right]$$

$$C_p = \text{گرمای ویژه‌ی مخلوط اگزوز}$$

$T$  : دما بر حسب کلوین

$P$  : فشار مطلق بر حسب کیلوپاسکال

$$R = R_{air} = 0.287 \frac{Kj}{Kg.K}$$

$$\begin{aligned} S_{up} - S_{down} = & \frac{1}{28.9} [28.11 \ln \left( \frac{T_{up}}{T_{down}} \right) + \\ & 0.1967 \times 10^{-2} (T_{up} - T_{down}) + \\ & 0.2401 \times 10^{-5} (T_{up}^2 - T_{down}^2) - \\ & 0.655 \times 10^{-9} (T_{up}^3 - T_{down}^3)] - R \ln \left( \frac{P_{up}}{P_{down}} \right) \end{aligned} \quad (15)$$

$$\dot{I}_{total} = m^\circ [(h_i - h_e) - T_0(s_i - s_e)] \quad (8)$$

در رابطه‌ی فوق  $T_0$  دمای محیط که معلوم است و کمیات مجھول  $(h_i - h_e)$ ,  $(s_i - s_e)$  می‌باشند که به تفکیک، هر کدام محاسبه شده است.

### محاسبه‌ی دبی جرمی کل موتور

برای محاسبه، دبی جرمی کل موتور داریم:

$$m^\circ = m^\circ a + m^\circ f \quad (9)$$

$m_a$  : دبی جرمی هواست که توسط افت فشار از مسیر اریفیس و تانک هوا در بستر تست اندازه گیری و محاسبه شده است.

$m_f$  : دبی جرمی سوخت است که با کمک کرنومتر و سیستم اندازه گیری حجمی سوخت با دانسیته‌ی معلوم، اندازه گیری و محاسبه می‌شود.

### محاسبه‌ی تغییر آنتالپی جریان ورودی تا خروجی در انباره اگزوز

برای محاسبه‌ی  $(\Delta h = h_e - h_i)$  اختلاف آنتالپی دو سر انباره داریم:

$$dh = C_p dT \quad (10)$$

در موتور دیزل چون نسبت هم‌ارزی سوخت به هوا ( $\phi$ ) همواره کوچک‌تر از یک است، تغییرات گرمای ویژه‌ی محصولات احتراق با مدل هوا با رفتار گاز کامل در دمای یکسان با اگزوز، در نظر گرفته شده است. بنابراین رابطه‌ی  $C_p$  بر حسب  $T$  را داریم [۵]:

$$\begin{aligned} \bar{C}_p = & 28.11 + 0.1967 \times 10^{-2} T + 0.4802 \times 10^{-5} T^2 - \\ & 1.966 \times 10^{-9} T^3 \end{aligned} \quad (11)$$

با قراردادن  $C_p$  از رابطه‌ی (۱۱) در رابطه‌ی (۱۰) و انتگرال گیری از دمای ورودی تا خروجی محفظه‌ی انباره که با اندازه گیری دمای‌های بالا و پایین به دست می‌آیند، داریم:

انتگرال گرفته و با جایگذاری  $\dot{Q}$  از رابطه‌ی (۱۸)  $\dot{\sigma}_Q$  به دست می‌آید. در نهایت با قراردادن  $\dot{Q}$  محاسبه شده در رابطه‌ی (۱۶) میزان بازگشت‌ناپذیری به علت انتقال حرارت با توجه به رابطه‌ی (۱۹) محاسبه می‌شود:

$$\begin{aligned} I_Q^0 &= T_0 \int \delta \dot{\sigma}_Q = T_0 \left[ - \int \frac{\delta Q^\circ}{T_i} + \int \frac{Q^\circ dT_i}{T_i^2} + \int \frac{\delta Q^\circ}{T_0} \right] \\ I_Q^0 &= T_0 \left\{ -m^\circ \int_{T_{down}}^{T_{up}} \frac{C_p dT_i}{T_i} + m^\circ \left[ \frac{1}{T_{down}} - \frac{1}{T_{up}} \right] \right. \\ &\quad \left. \int_{T_{down}}^{T_{up}} C_d p T_i + \frac{m^\circ}{T_0} \int_{T_{down}}^{T_{up}} C_p dT_i \right\} \end{aligned} \quad ( )$$

محاسبه‌ی بازگشت‌ناپذیری داخلی انباره اگزوژن تفاوت بازگشت‌ناپذیری کلی و بازگشت‌ناپذیری به علت انتقال حرارت، بازگشت‌ناپذیری داخلی  $I_{c.v.}$  است، و به صورت زیر به دست می‌آید [4]:

$$I_{c.v.} = \dot{I}_{total} - \dot{I}_Q \quad (20)$$

### اکوستیک

صوت هنگامی تولید می‌شود که جسمی مانند یک دیاپازن یا یک تار ارتعاش کند و یا یک تیغه و یا یک صفحه و ... به ارتعاش در آید و به طور متنابه هواست. مجاور خود را متراکم و منبسط کند [۷، ۸]. صوتی به راحتی شنیده می‌شود که شدت آن بین دو حد آستانه‌ی شنوایی و آستانه‌ی دردناکی قرار گیرد. آستانه‌ی شنوایی عبارت است از کمترین شدت صوتی که گوش انسان قادر به شنیدن آن باشد. آستانه‌ی دردناکی عبارت است از بیشترین صوتی که بدون احساس درد، گوش انسان قادر به شنیدن آن باشد.

دو حد بالایی و پایین شدت صوت به فرکانس صوت بستگی دارند. برای اصواتی که فرکانس آنها برابر  $1000$  هرتز باشد، آستانه‌ی شنوایی برابر است با:

تغییرات انتروپی دوسر انباره از رابطه‌ی (۱۵) محاسبه شده است.

**محاسبه‌ی بازگشت‌ناپذیری کلی انباره اگزوژن**  
بازگشت‌ناپذیری کلی انباره اگزوژن ( $\dot{I}_{total}$ ) از رابطه‌ی (۸) محاسبه شده است:

$$\dot{I}_{total} = m^\circ [(h_i - h_e) - T_0(s_i - s_e)] \quad (8)$$

**محاسبه‌ی بازگشت‌ناپذیری به علت انتقال حرارت از انباره اگزوژن به محیط**

نرخ زمانی بازگشت‌ناپذیری به علت انتقال حرارت (۹) در محیطی بین حجم کنترل و منع حرارتی به نام سیستم واسطه به وقوع می‌پیوندد (انتقال حرارت از طریق سیستم واسطه صورت می‌پذیرد) [4]. داریم:

$$\dot{I}_Q = T_0 \dot{\sigma}_Q \quad (16)$$

$T_0$  : دمای محیط

$\dot{\sigma}_Q$  : نرخ زمانی تولید انتروپی به علت انتقال حرارت جهت محاسبه‌ی تولید انتروپی، به علت انتقال حرارت با استفاده از قانون دوم ترمودینامیک برای سیستم واسطه کمک گرفته شده است. در نتیجه، تولید انتروپی به علت انتقال حرارت برابر است با [4]:

$$\dot{\sigma}_Q = - \frac{\dot{Q}}{T_i} + \frac{\dot{Q}}{T_0} \quad (17)$$

برای محاسبه  $\dot{\sigma}_Q$  از رابطه‌ی (۱۷)،  $\dot{Q}$  حرارت انتقال یافته از انباره اگزوژن به محیط است. چون دمای سطح کنترل  $T_i$ ، از ورود تا خروج متغیر است، برای محاسبه  $\dot{Q}$  با نوشتن معادله‌ی انرژی برای انباره اگزوژن داریم:

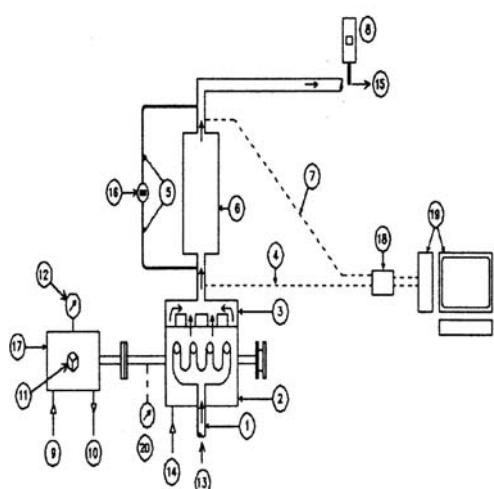
$$\dot{Q} = \dot{m}(h_{up} - h_{down}) = \dot{m} \int_{T_{down}}^{T_{up}} C_p dT \quad (18)$$

حال جهت محاسبه‌ی تولید انتروپی به علت انتقال حرارت، ابتدا از رابطه‌ی (۱۷) دیفرانسیل و سپس

شدت صوت، توضیح داده شده است. در این کار پژوهشی، شدت نسبی صوت، توسط دستگاه صوت سنج Lurton اندازه گیری شده است و از روابط فوق، جهت محاسبه شدت صوت استفاده نشده است.

### بستر آزمایش

برای بررسی میزان بازگشت پذیری های انباره اگزوژ و ارتباط آن با دسی بل اگزوژ، بستر آزمایش با طرح شماتیک شکل (۳) و امکانات زیر مورد استفاده قرار گرفته است:



شکل ۳ شماتیک بستر آزمایش

۱. مانی فولد هوا
۲. موتور دیزل OM314
۳. مانی فولد اگزوژ
۴. ترموکوپل قبل از انباره
۵. لوله های رابط مانومتر اختلاف فشار دو طرف انباره
۶. انباره اگزوژ
۷. ترموکوپل بعد از انباره
۸. دسی بل متر دیجیتالی
۹. مسیر ورودی آب دینامومتر
۱۰. مسیر خروجی آب دینامومتر

$$I_0 = 10^{-12} \frac{W}{m^2} \quad (21)$$

و آستانه‌ی دردناکی در همان فرکانس ۱۰۰۰ هرتز برابر است با:

$$I = 1 \frac{W}{m^2} \quad (22)$$

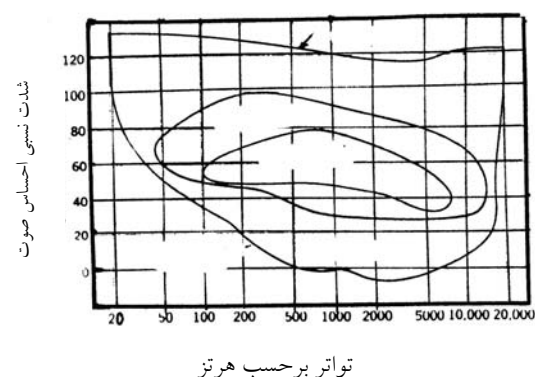
با اندازه گیری آستانه‌ی شنوایی و آستانه‌ی دردناکی در فرکانس‌های مختلف، نمودار شنوایی گوش انسان یا سطح شنوایی، مشخص می‌شود که این نمودار مطابق شکل (۲) است [۹,۷,۲].

برای درجه بندی اصوات، نظر به این که نسبت حداکثر شدت صوت قابل شنیدن به حداقل آن، عدد بسیار بزرگی مانند  $10^{12}$  است، از لگاریتم این نسبت استفاده کرده‌اند. لگاریتم این نسبت را که شدت نسبی احساس صوت می‌نامند از رابطه‌ی زیر به دست می‌آورند [۲, ۱۲, ۱۳]:

$$B = \log\left(\frac{I}{I_0}\right) \quad (23)$$

این نسبت B را برحسب واحد بل، به احترام نام گراهام بل مخترع تلفن، بیان می‌کنند. نظر به این که بل واحد بزرگی است از واحد کوچکی به نام دسی بل استفاده می‌شود یعنی:

$$dB = 10^{-1} \log\left(\frac{I}{I_0}\right) \quad (24)$$



شکل ۲ آستانه‌ی شنوایی و آستانه‌ی دردناکی در فرکانس‌های مختلف از رابطه‌ی (۲۱) تا (۲۴)، مفهوم واحد اندازه گیری

اگزوز را که در موقع بازشدن سوپاپ دود به وجود می‌آید، مستهلك می‌نماید.

### دسى بل متر ديجيتالى

جهت اندازه‌گیری شدت صوت از یک دسی بل متر دیجیتالی ساخت کارخانه Lutron و میزان خطای  $0/1\text{dB}$  و با رنج کاری  $35-130\text{dB}$  استفاده شده است. برای اندازه‌گیری شدت صوت خروجی از انباره پس از آن که موتور در سرعت و گشتاور ثابت تنظیم گردید، قسمت حسگر را در دهانه‌ی اگزوز قرار داده و میزان دسی بل خروجی را اندازه‌گیری می‌نماییم.

### نحوه‌ی انجام آزمایشات

چون در این پروژه تأثیر بازگشت ناپذیری انباره اگزوز در رابطه با دسی بل اگزوز در حالت پایدار مورد بررسی قرار گرفته است، لذا در هر آزمایش مراحل زیر مورد توجه واقع شده است:

- در شروع هر سری، آزمایش بعد از استارت موتور و با گذشت زمانی در حدود  $10\text{ دقیقه}$ ، موتور تا دمای کارکرد، حدود  $70^{\circ}\text{C}$ ، گرم شده است.

- در این مرحله توسط یک سیستم نگهدارنده، موقعیت شانه گاز همراه با اعمال گشتاورهای مختلف، توسط دینامومتر ثبیت می‌شود. دورهای آزمایش شده عبارتند از:

(1200, 1300, 1400, 1500, 1600, 1700)rpm

گشتاورهای اعمال شده توسط دینامومتر از صفر تا  $60\text{ نیوتون متر در سرعت های مختلف موتور اعمال شده است.}$

- بعد از اطمینان از شرایط ۱ و ۲، پارامترهای مورد نیاز از روی بستر آزمایش برداشت شده است.

- پس از ثبت داده‌ها برای گشتاورهای مختلف در سرعت معینی از موتور، مراحل قبل برای سرعت جدید تکرار شده است.

- اهرم بارگذاری دینامومتر
- نشاندهنه‌ی تورک مصرفی موتور
- هوای ورودی به موتور
- سوخت ورودی به موتور
- محصولات خروجی از اگزوز
- مانومتر اختلاف فشار دو طرف انباره اگزوز
- دینامومتر Froud
- برد ایترفیس
- کامپیوتر و مانیتور
- دورسنج مغناطیسی

### موتور دیزل OM314

موتور تنفس طبیعی دیزل OM314 که در موتور مینیبوس 0301 و کامیونت خاور Lp106 مورد استفاده قرار می‌گیرد، با مشخصات فنی به شرح ذیل مورد استفاده واقع شده است:

مدل: دیزل - OM314

قطر سیلندر: 97mm

کورس پیستون: 128mm

حجم کل: 3.784lit

نسبت تراکم: 17:1

ماکزیمم قدرت: 85h.p

ماکزیمم گشتاور: 235N.m

ماکزیمم دور: 2800rpm

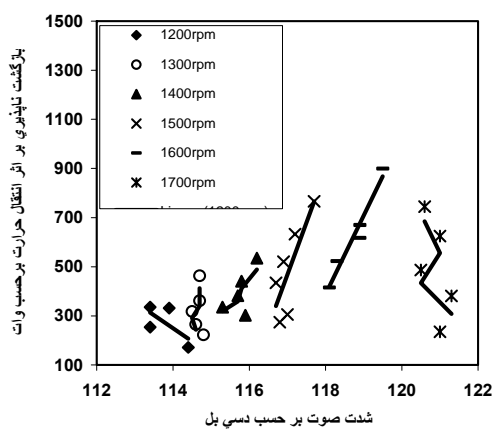
فشار مؤثر متوسط: 6.8bar@2800rpm

این موتور چهار سیلندر، چهار زمانه و از نوع تزریق مستقیم (DI) می‌باشد.

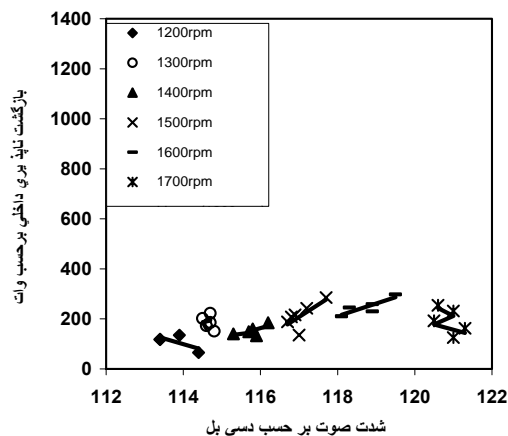
### انباره اگزوز

انباره اگزوز که وظیفه‌ی کاهش میزان صدای حاصل از فرآیند اگزوز را دارد، در مسیر اگزوز قرار گرفته است. خفه‌کن صدا یا انباره اگزوز، شامل سوراخ‌ها، مجراهای و محفظه‌هایی است که گازها از آن‌ها عبور کرده و ضربه‌های ناشی از فشار گازهای وارد شده به دستگاه

موتور دبی جرمی ورودی به موتور را افزایش داده و بازگشت ناپذیری کلی را نیازافزايش داده است. با مقایسه شکل (۵) و (۶)، دریافت می شود که بازگشت ناپذیری داخلی همراه با تغییر شدت صوت تغییرات بسیار ناچیزی داشته، اما بازگشت ناپذیری به علت انتقال حرارت، نقش بیشتری در شدت صدای اگزو ز دارد.



شکل ۵ تغییرات بازگشت ناپذیری انتقال حرارت انباره اگزو ز  
نسبت به دسی بل اگزو ز در موتور OM314



شکل ۶ تغییرات بازگشت ناپذیری داخلی انباره اگزو ز نسبت به  
دسی بل اگزو ز در موتور OM314

برای نشان دادن تغییرات بازگشت ناپذیری اگزو ز OM314 نسبت به دسی بل صدا، بهتر است اشل دسی بل صدا را از شروع احساس شناوی تا حد دردناکی قرار دهیم. در صورتی که فرکانس صوت اگزو ز را در حدود ۵۰۰۰ تا ۵۰۰ هرتز در نظر بگیریم

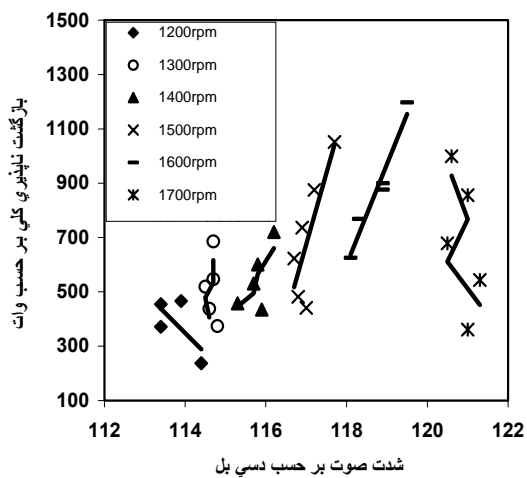
### پردازش داده های آزمایشگاهی

با توجه به پارامترهای اندازه گیری شده در حالت های مختلف، مقادیر زیر محاسبه شده اند:

۱. دبی جرمی ورودی موtor،
۲. اختلاف انثالپی دوسر انباره،
۳. نرخ انتقال حرارت انباره،
۴. اختلاف انتروپی دو سر انباره،
۵. بازگشت ناپذیری کلی انباره،
۶. بازگشت ناپذیری ناشی از انتقال حرارت انباره،
۷. بازگشت ناپذیری داخلی انباره.

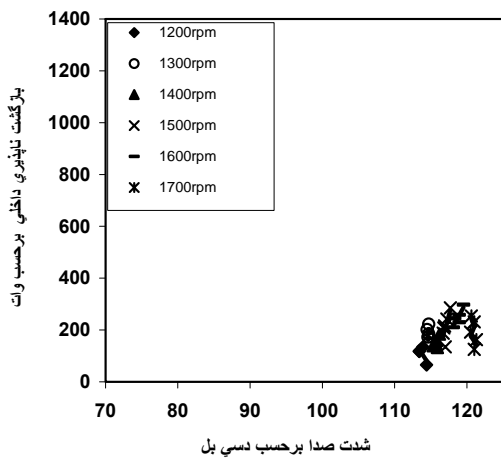
### بررسی و تحلیل نتایج

همان طور که در شکل های (۴)، (۵) و (۶) دیده می شود با افزایش بازگشت ناپذیری، دسی بل اگزو ز افزایش می یابد، اما با یستی توجه داشت که افزایش تقریباً سیصد درصدی بازگشت ناپذیری کلی و بازگشت ناپذیری به علت انتقال حرارت، فقط ده درصد میزان دسی بل صدا افزایش یافته است.



شکل ۴ تغییرات بازگشت ناپذیری کلی انباره اگزو ز نسبت به  
دسی بل اگزو ز در موتور OM314

با توجه به شکل های (۴)، (۵) و (۶)، ملاحظه می شود عامل افزایش شدت صوت عمده با افزایش سرعت موتور به وجود آمده است؛ البته افزایش سرعت

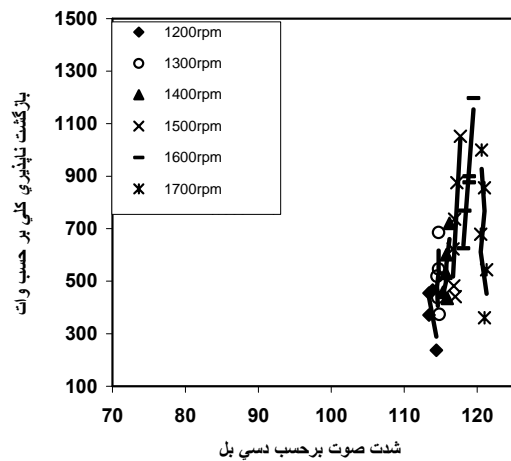


شکل ۹ تغییرات بازگشت ناپذیری داخلی انباره اگزووز نسبت به دسی بل صدای اگزووز در موتور OM314

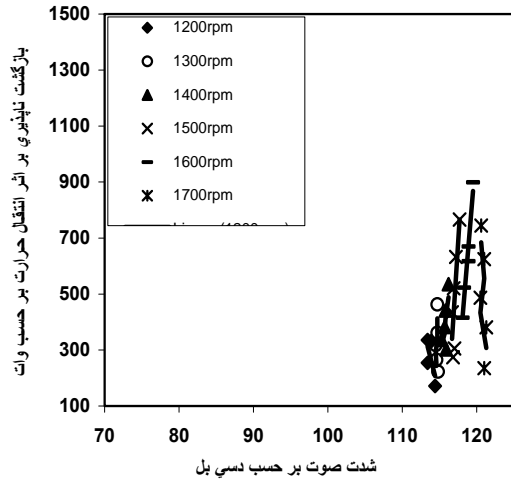
همان طور که در شکل های (۱۰)، (۱۱) و (۱۲) مشاهده می شود، تغییرات بازگشت ناپذیرهای انتقال حرارت وکلی اگزووز با افزایش گشتاور افزایش یافته است. علت این موضوع را می توان چنین بیان کرد که با افزایش گشتاور موتور در سرعت ثابت، هم دبی جرمی سوخت مصرفی افزایش می یابد (افزایش دبی جرمی سوخت در مقایسه با دبی هوای موتور ناچیز است) و هم دمای انباره اگزووز زیاد می شود. با افزایش دمای انباره، فقط بازگشت ناپذیری به علت انتقال حرارت زیاد می شود. در صورتی که با افزایش سرعت موتور دبی هوا افزایش یابد، بازگشت ناپذیری کلی افزایش می یابد. شکل های (۱۱) و (۱۲) نشان می دهد افزایش گشتاور تأثیر قابل توجهی در بازگشت ناپذیری به علت انتقال حرارت داشته، ولی تأثیر جزئی در بازگشت ناپذیری داخلی ایفا نموده است.

شکل های (۱۳)، (۱۴) و (۱۵) تغییرات بازگشت ناپذیری ها را نسبت به سرعت موتور نشان می دهد. با افزایش سرعت موتور به علت افزایش دبی جرمی ورودی به موتور، بازگشت ناپذیری ها افزایش یافته اند. این افزایش در گشتاورهای زیاد به علت افزایش دمای انباره (و افزایش بازگشت ناپذیری انتقال حرارت) از شبی بیشتری برخوردار است. شکل (۱۵) نشان می دهد افزایش سرعت موتور، تأثیر جزئی بر بازگشت ناپذیری داخلی داشته است.

[10]، با توجه به شکل (۲) حد شناوی و حد دردناکی بین صفر تا ۱۲۰ دسی بل تغییر می کند. در صورتی که محدوده تغییرات شدت صوت را کمی قبل از حد دردناکی (۷۰ دسی بل) و کمی بیشتر از حد دردناکی (۱۲۵ دسی بل) در نظر بگیریم، همان گونه که در شکل های (۷)، (۸) و (۹) ملاحظه شده است، در می یابیم که تغییرات دسی بل اگزووز (به علت نزدیکی سنسور صوت به دهانه اگزووز) در این آزمایشات عمدها در حد دردناکی صدا بوده است. در این نتایج، بازگشت ناپذیری انتقال حرارت نیز تأثیر بیشتری در افزایش صوت در مقایسه با بازگشت ناپذیری داخلی داشته است.



شکل ۷ تغییرات بازگشت ناپذیری کلی انباره اگزووز نسبت به دسی بل اگزووز در موتور OM314

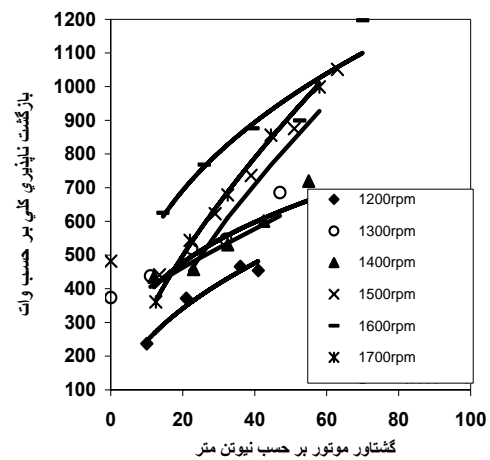


شکل ۸ تغییرات بازگشت ناپذیری به علت انتقال حرارت انباره اگزووز به دسی بل اگزووز در موتور OM314

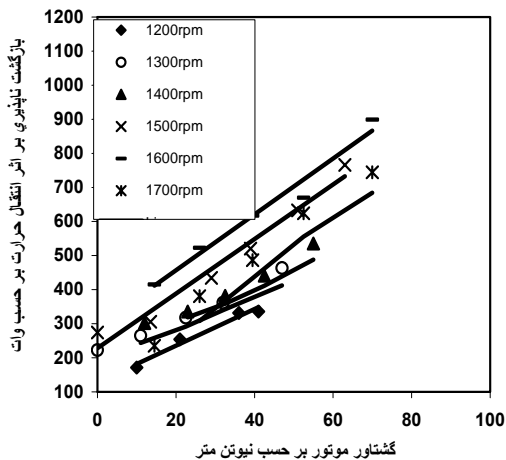
با مقایسه شکل های (۱۰)، (۱۱)، (۱۲) با شکل های (۱۳)، (۱۴)، (۱۵) که تأثیر گشتاور را در بازگشت ناپذیری ها نمایش داده اند، نتیجه می گیریم که هم افزایش سرعت و هم افزایش گشتاور، باعث افزایش بازگشت ناپذیری ها می شوند؛ اما با توجه به شکل های (۴)، (۵)، (۶) نقش افزایش سرعت در افزایش دسی بل صدا از گشتاور بیشتر است و این به دلیل افزایش تعداد باز شدن سوپاپ های دود در واحد زمان است که در سرعت های زیاد موتور رخ می دهد.

شکل های (۱۶)، (۱۷)، (۱۸)، (۱۹)، (۲۰) و (۲۱) تغییرات بازگشت ناپذیری کلی انباره اگزوز نسبت به تغییرات اختلاف دما و فشار دو طرف انباره در سرعت ها و گشتاورهای مختلف موتور را نشان می دهند. همان طور که مشاهده می شود با افزایش اختلاف دما و یا اختلاف فشار دو سر انباره، مقادیر بازگشت ناپذیری ها افزایش می یابند. علت تفاوت در شب تغییرات افزایش بازگشت ناپذیری با افزایش اختلاف دما و اختلاف فشار دو سر انباره مربوط به تأثیری است که در اختلاف انتالپی و انتروپی دو طرف انباره ایجاد می کنند که خود به خود بر بازگشت ناپذیری تأثیر می گذارند.

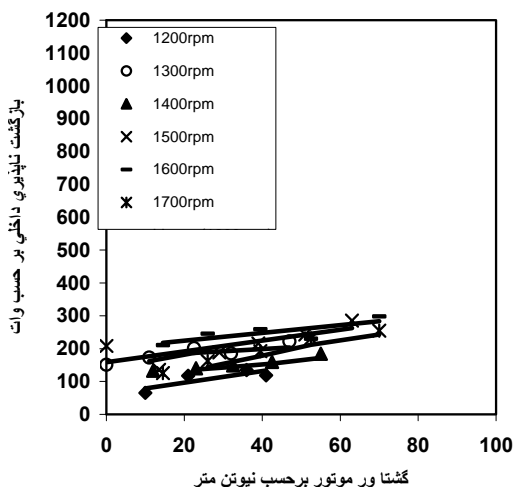
اختلاف فشار در مدل گاز کامل فقط در تغییر انتروپی مؤثر است، در حالی که اختلاف دما هم در تغییر انتالپی و هم در تغییر انتروپی تأثیر می گذارند. با توجه به مقایسه شکل (۱۶) با شکل (۱۹) و رابطه (۸) در می یابیم که تغییر افت فشار با شبیه سیار زیادی در بازگشت ناپذیری کلی انباره مؤثر بوده است؛ این اهمیت افت فشار را در بازگشت ناپذیری و صدای اگزوز نشان می دهد (شکل (۲۲)). در تغییرات افت فشار و اختلاف دما نسبت به بازگشت ناپذیری ها مشاهده می شود که بازگشت ناپذیری داخلی، تأثیر بسیار ناچیزی از افت فشار و افت دما داشته است. در شکل های (۲۲) و (۲۳) اثر اختلاف دما و افت فشار بر دسی بل صدا نشان داده شده است. این نتایج، ارتباط بیشتر افت فشار به صدای اگزوز را در مقایسه با اختلاف دما نشان داده است.



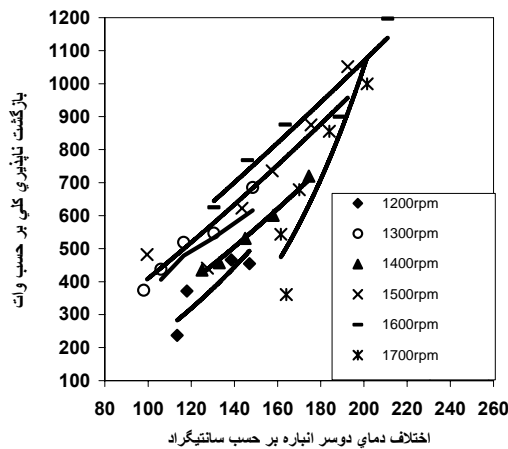
شکل ۱۰ تغییرات بازگشت ناپذیری کلی انباره اگزوز نسبت به گشتاور موتور در موتور OM314



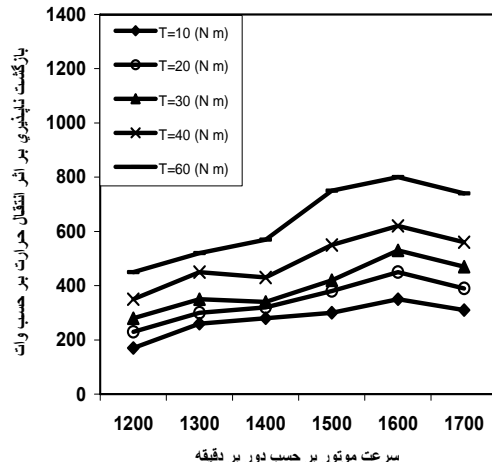
شکل ۱۱ تغییرات بازگشت ناپذیری به علت انتقال حرارت انباره اگزوز نسبت به گشتاور موتور در موتور OM314



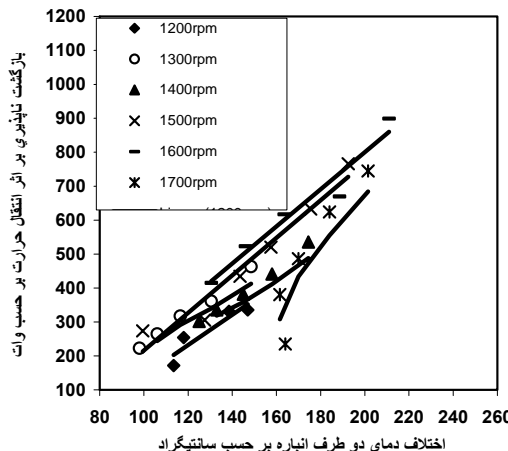
شکل ۱۲ تغییرات بازگشت ناپذیری داخلی انباره اگزوز نسبت به گشتاور موتور در موتور OM314



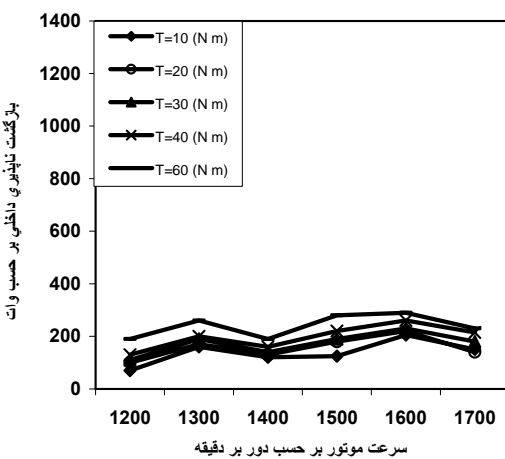
شکل ۱۶ تغییرات بازگشت‌نایپذیری کلی انباره اگروز نسبت به اختلاف دمای متوسط انباره با دمای محیط



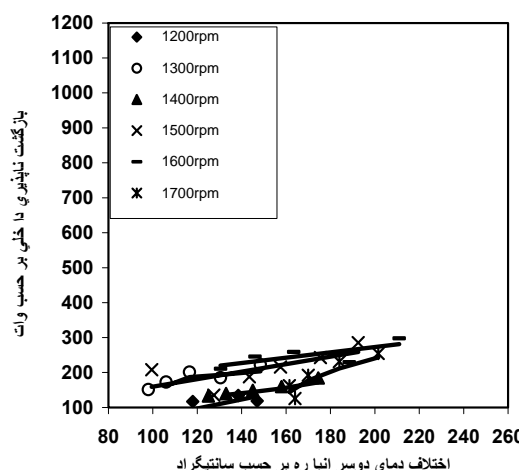
شکل ۱۳ تغییرات بازگشت‌نایپذیری کلی انباره اگروز نسبت به تغییرات سرعت موتور OM314



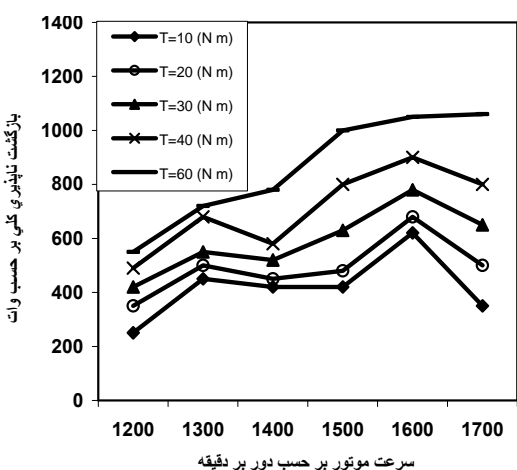
شکل ۱۷ تغییرات بازگشت‌نایپذیری به علت انتقال حرارت انباره اگروز نسبت به اختلاف متوسط انباره با محیط



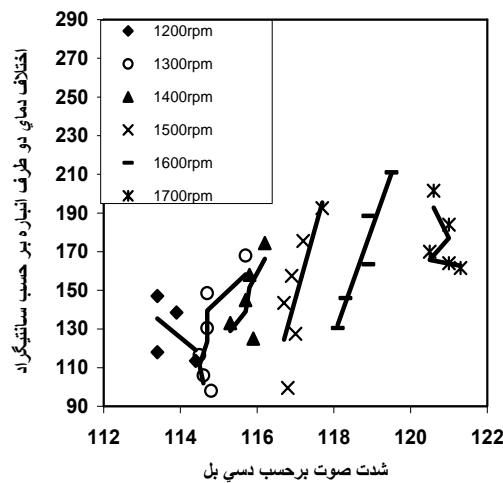
شکل ۱۴ تغییرات بازگشت‌نایپذیری به علت انتقال حرارت انباره اگروز نسبت به تغییرات سرعت موتور OM314



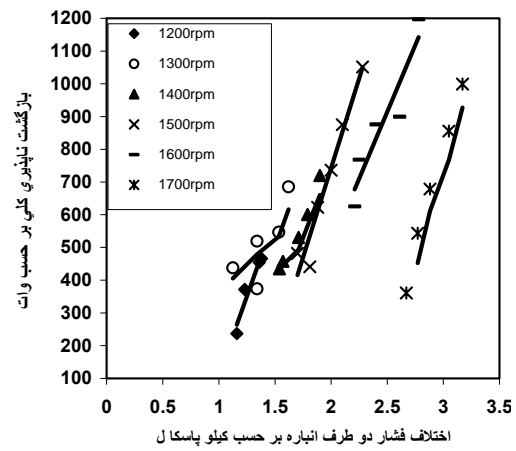
شکل ۱۸ تغییرات بازگشت‌نایپذیری داخلی انباره اگروز نسبت به اختلاف دمای متوسط انباره با دمای محیط



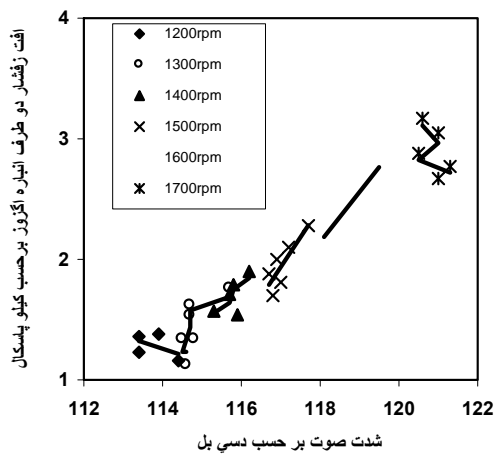
شکل ۱۵ تغییرات بازگشت‌نایپذیری داخلی انباره اگروز نسبت به سرعت در موتور OM314



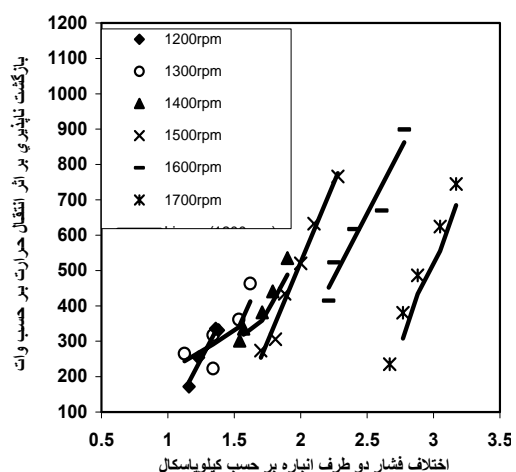
شکل ۲۲ تغییرات اختلاف دمای متوسط دو طرف انباره اگزو ز نسبت به دسی بل صدای اگزو ز موتور OM314



شکل ۱۹ تغییرات بازگشت ناپذیری کلی انباره اگزو ز نسبت به افت فشار دو طرف اگزو ز موتور OM314

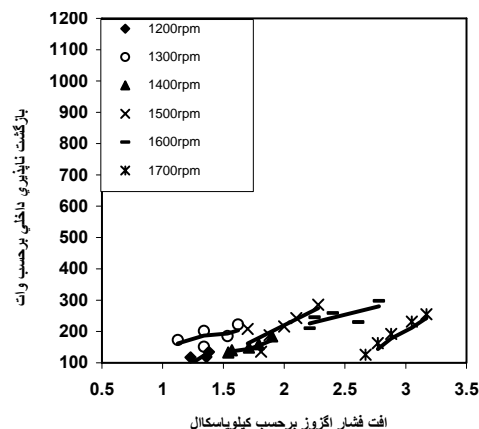


شکل ۲۳ تغییرات افت فشار دو طرف انباره اگزو ز نسبت به دسی بل صدای اگزو ز در موتور



شکل ۲۰ تغییرات بازگشت ناپذیری انتقال حرارت انباره نسبت به افت فشار دو طرف اگزو ز موتور OM314

- ### نتیجه گیری
- در این کار پژوهشی، ارتباط بازگشت ناپذیری ها و شدت صدای اگزو ز مورد بررسی واقع شده است.
  - در این پژوهه با سه برابر شدن بازگشت ناپذیری ها فقط ده درصد دسی بل صدا افزایش یافته است؛ پس ممکن است تأثیر بازگشت ناپذیری ها فقط در ده درصد شدت صدای اگزو ز مؤثر باشد.
  - بازگشت ناپذیری انتقال حرارت انباره اگزو ز نقش تعیین کننده تری از سایر بازگشت ناپذیری ها دارد؛ به همین دلیل برای کاهش صدا از دیدگاه قانون دوم



شکل ۲۱ تغییرات بازگشت ناپذیری داخلی انباره نسبت به افت فشار دو طرف اگزو ز موتور OM314

- ترمو دینامیک، بهترین روش، سرد کردن انباره اگزو ز واحد زمان است.
۵. افزایش گشتاور موتور، مشابه افزایش بازگشت ناپذیری انتقال حرارت می تواند به صورت محدودی در افزایش صدای اگزو ز مؤثر باشد.
۴. عامل اصلی شدت صدای اگزو ز، سرعت موتور است و علت آن افزایش تعداد بازشدن سوپاپ دود در

## مراجع

- Nilsson, D., "Energy, exergy and exergy analysis of using straw as fuel in district heating plants", *Biomass and Bioenergy*, Vol. 13 pp 3-73, (1997).
- لیاقتی؛ غلامعلی، "اکوستیک در معماری"، انتشارات دانشگاه ملی ایران، (۱۳۵۷).
- Rosen, M.A, "Clarifying thermodynamic efficiencies and losses via exergy", *Exergy, an International Journal* 2, 3-5, (2002).
- Wark, K. "Advanced Thermodynamic for Engineers", McGraw-Hill Inc, Singapore, (1995)
- سنجل؛ یونس، بولز؛ مایکل، "ترمو دینامیک از دیدگاه مهندسی"، ترجمه مهدی رضا مهپیکر، انتشارات دانشگاه فردوسی مشهد، (۱۳۸۰).
- Sonntag, Borgnakke& Van Wylen, "Fundamentals of thermodynamics", Wiely & Sons, (1998).
- معتمدی؛ اسفندیار، "موج و صوت"، انتشارات پژوهش، (۱۳۷۲).
- جهانگیری؛ نادر، "آوازناسی اکوستیک"، انتشارات دانشگاه فردوسی مشهد، (۱۳۷۴).
- کینزلر؛ لارنس ئی، فرای؛ آستین آر. "مبانی اکوستیک"، ترجمه ضیاء الدین اسماعیلی بیگی، مهدی برکشی، انتشارات امیرکبیر، (۱۳۶۴).
- Sapsford S.M., "Application of nonlinear modeling to intake and exhaust system design", *International Seminar High- Performance Soak Ignition Engines for passenger cars*, Technical papers, Milano (Italy), Nov., 5-6, (1992).